

그림 2. ND 합성 시스템의 개요

라 하면 이 두 식에서 계수 a_0 과 d_0 사이의 관계는 Chebyshev polynomial 에 의해 쉽게 구할 수 있다[4].

(2) ND 합성 시스템의 전체적인 개요

ND 방식을 이용한 악기음 합성 시스템의 구조를 그림 2 에 블록도로 표시하였다.

발전기 OSC1 에서 발생된 정현파 $f(t)$ 가 포락선 (envelope) 발생기 ENV1 에 의해 그 진폭이 결정되어 shaping function $F(x)$ 에 가해진다. 이 때, ENV1 의 출력 값에 따라 $F(x)$ 의 출력 $y(t)$ 의 왜곡 정도가 달라질 것을 예상할 수 있다. 따라서 ENV1 은 왜곡의 정도를 결정하여 같은 악기에서의 경우에 따른 음색의 차이 (예를 들면 강하게 연주할 때와 약하게 연주할 때의)를 제어한다.

이 출력 $y(t)$ 는 ENV1 의 값에 의해 진폭이 결정 된다. 이것을

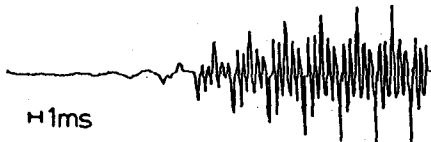


그림 3. 클라리넷 D4 음의 초기 파형

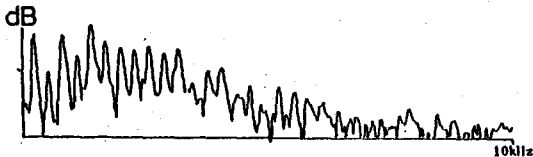


그림 4. 클라리넷 D4 음의 초기 스펙트럼



그림 5. 클라리넷 D4 음의 정상상태 스펙트럼

ENV1 의 값과 무관하게 일정한 진폭을 가지도록 정규화 시킨다. 정규화된 $z(t)$ 에 실제의 악기음 포락선을 발생하는 ENV2 를 가해 D-A 변환을 거치면 원하는 음이 합성된다.

III. ND 방식을 이용한 클라리넷 음의 합성

(1) 실제 클라리넷 음의 분석

클라리넷 음의 합성을 행하기 위해 우선 실제 클라리넷 음을 분석 하였다. 그림 3 에 클라리넷 D4 음의 초기 (attack) 파형이 나타나 있다. Attack time (악기에서 소리가 나기 시작하고부터 정상상태에 이르기까지의 시간)은 약 30 msec 정도이다. 그림 4 에 초기의 스펙트럼을 보였다.

그림 5 에는 정상상태 (steady state)의 스펙트럼을 보였다. 클라리넷은 한 쪽 끝이 막힌 관의 모델로 생각할 수 있기 때문에 홀수 배음이 우세할 것을 예측할 수 있으며, 그림 5 의 스펙트럼에서도 이것을 확인할 수 있다.

정상상태의 스펙트럼으로부터 합성에 사용될 표 1 의 data 를 얻었다. 각 배음의 진폭이 dB 단위로 나타나 있다. 이 data 를 근거로 얻어진 shaping function 을 그림 6 에 보였다.

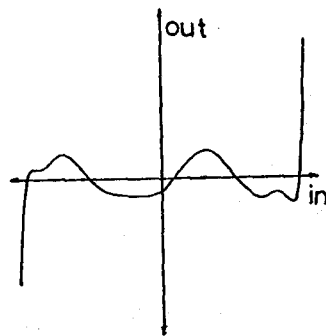


그림 6. 클라리넷 음 합성을 위한 shaping function

배음 진폭 (dB)	배음 진폭 (dB)	배음 진폭 (dB)
1 63.2	11 58.9	21 31.6
2 33.7	12 18.9	22 18.9
3 65.3	13 48.4	23 21.1
4 33.7	14 44.2	24 12.6
5 69.5	15 35.8	25 18.9
6 54.7	16 31.6	26 23.2
7 58.9	17 21.1	27 23.2
8 46.3	18 31.6	28 14.7
9 61.6	19 31.6	29 21.1
10 52.6	20 25.3	30 10.5

표 1. 각 배음의 진폭

(2) 합성된 클라리넷 음의 분석

그림 6 의 shaping function 에 의해 클라리넷 E4 음을 합성하였다. 그리고, 합성된 음을 원음과 비교하기 위해 합성음에 대한 분석을 행하였다.

합성된 음의 초기 파형과 스펙트럼을 그림 7 과 그림 8 에 각각 보였다. 그림 3 과 그림 4 의 실제 음과 비교해 볼 때 상당히 유사함을 알 수 있다.

그림 9 와 그림 10 에 정상상태의 파형과 스펙트럼을 보였다. 그림 5 의 실제 클라리넷 음의 스펙트럼과 비교해 보면 거의 같은 모양이다.

합성된 음의 시청 테스트 결과, 좋은 반응을 얻었다.

IV. 결론

ND 방식을 이용하여 클라리넷 음의 합성을 시도하였으며, 좋은 결과를 얻었다. 클라리넷 외에도 여러 가지 다양한 악기음의 합성이 가능하며, shaping function 만 적절히 변경하면 된다.

장차 여러 다른 악기음의 합성을 시도할 예정이며, 보다 아름답고 자연스러운 음을 내기 위해 vibrato 등 실제 악기에서 행해지는 여러 가지 기교의 효과도 첨가할 생각이다. 그리고, 연속음 및 화음의 합성까지 완성하여 ND 방식을 이용한 전자 악기의 개발에 목표를 두고 있다.



그림 7. 합성된 클라리넷 음의 초기 파형

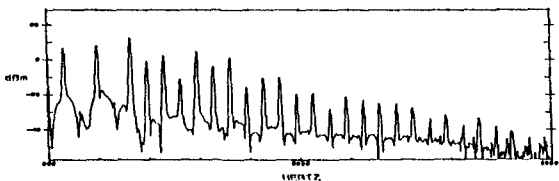


그림 8. 합성된 클라리넷 음의 초기 스펙트럼

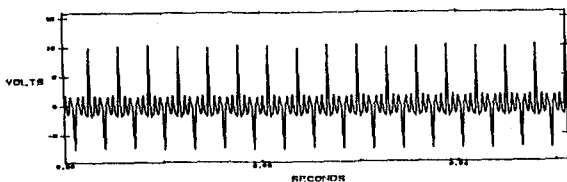


그림 9. 합성된 클라리넷 음의 정상상태 파형

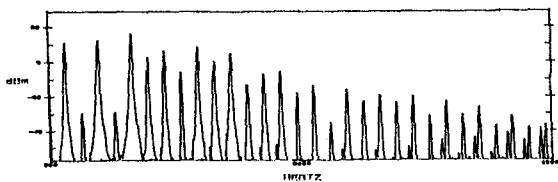


그림 10. 합성된 클라리넷 음의 정상상태 스펙트럼

참고 문헌

- [1] Olson, H. F., H. Belar, and J. Timmers, "Electronic music synthesis", J. Acoust. Soc. Am., Vol.32, No.3, 1960, pp.311-319.
- [2] Moorer, J. A., "Signal processing aspects of computer music : a survey", Proc. IEEE, Vol.65, No.8, 1977, pp.1108-1137.
- [3] Chowing, J. M., "The synthesis of complex audio spectra by means of frequency modulation", J. Audio Eng. Soc., Vol.21, No.7, 1973, pp.526-534.
- [4] Roads, C., "A tutorial on nonlinear distortion or wave shaping synthesis", Computer Music J., Vol.3, No.2, 1979, PP.29-34.
- [5] beauchamp, J., "Brass-tone synthesis by spectrum evolution matching with nonlinear functions", Computer Music J., Vol.3, No.2, 1979, pp.6-11.